



مکانیک سیالات ۲

جریان داخلی

میثم سعیدی-استادیار گروه مهندسی مکانیک

انواع جریان‌های داخلی Internal Flows

✓ جریان آرام یا لایه‌ای Laminar Flow

✓ جریان آشفته یا درهم Turbulent Flow

✓ عدد رینولدز نوع رژیم جریان را مشخص می‌کند.

$$Re \leq 2300 \quad \text{جریان آرام} \rightarrow \quad Re = \frac{\rho v L}{\mu}$$
$$Re \geq 4000 \quad \text{جریان آشفته}$$

طول مشخصه: L

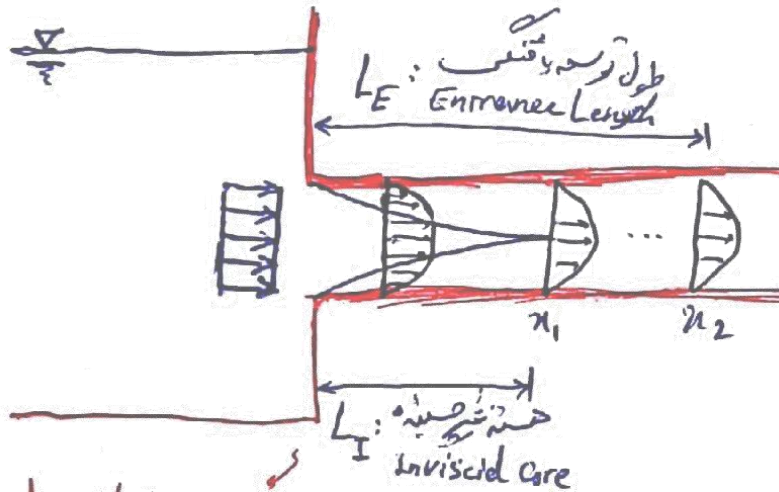
$L = D$: در مقطع‌های داخلی لوله

انواع جریان بر حسب عدد رینولدز

- ✓ **$Re < 1$** : جریان خزشی (Creeping) است و در این حالت جریان کاملاً چسبنده بوده و نیروهای اینرسی ناچیز هستند.
- ✓ **$1 < Re < 100$** : جریان چسبنده بوده و شدیداً وابسته به عدد رینولدز می‌باشد و نمی‌توان از تئوری لایه مرزی استفاده نمود.
- ✓ **$100 < Re < 1000$** : جریان آرام و چسبنده بوده و می‌توان تئوری لایه مرزی را استفاده نمود.
- ✓ **$1000 < Re < 10000$** : در این حالت جریان گذار می‌باشد.
- ✓ **$10000 < Re < 1000000$** : جریان آشفته بوده و می‌توان از تئوری لایه مرزی استفاده نمود.
- ✓ **$Re > 1000000$** : جریان کاملاً آشفته بوده و وابستگی به عدد رینولدز بسیار جزئی و نیروی چسبندگی قابل صرف‌نظر می‌باشد.

جریان در ورودی لوله‌ها (Entrance Flow)

✓ از X_2 به بعد را ناحیه کاملاً توسعه یافته (Fully Developed) گوئیم. در این ناحیه پروفیل سرعت در جهت جریان تغییر نمی‌کند.



سرعت توسعه یافته: $\frac{\partial u}{\partial x} = 0$

$L_I \approx \frac{1}{4} L_E$

$L_E = f(\rho, \nu, \mu, D)$ $\frac{L_E}{D} = f(Re)$

سرعت توسعه یافته: $Re = \frac{\rho V D}{\mu}$ Re عدد رینولدز

طول توسعه یافته: $\frac{L_E}{D} = 0.06 Re$ $\frac{L_E}{D} = 1.6 Re^{1/4}$

طول توسعه یافته: $\frac{L_E}{H} = 0.04 Re$ $Re = \frac{\rho V H}{\mu}$

معادلات حرکت در مختصات استوانه‌ای

مختصات کارتزینی (x, y, z) (u, v, w)

مختصات استوانه‌ای (r, θ, z) (u_r, u_θ, u_z)

$$\frac{1}{r} \frac{\partial}{\partial r} (r\psi) + \frac{1}{r} \frac{\partial}{\partial \theta} (v_\theta) - \frac{\partial}{\partial z} (v_z) = 0 \quad \text{معادله پیوستگی}$$

$$\mathbf{V} \cdot \nabla = v_r \frac{\partial}{\partial r} + \frac{1}{r} v_\theta \frac{\partial}{\partial \theta} + v_z \frac{\partial}{\partial z}$$

$$\nabla^2 = \frac{1}{r} \frac{\partial}{\partial r} \left(r \frac{\partial}{\partial r} \right) + \frac{1}{r^2} \frac{\partial^2}{\partial \theta^2} + \frac{\partial^2}{\partial z^2}$$

معادلات حرکت در مختصات استوانه‌ای (ادامه)

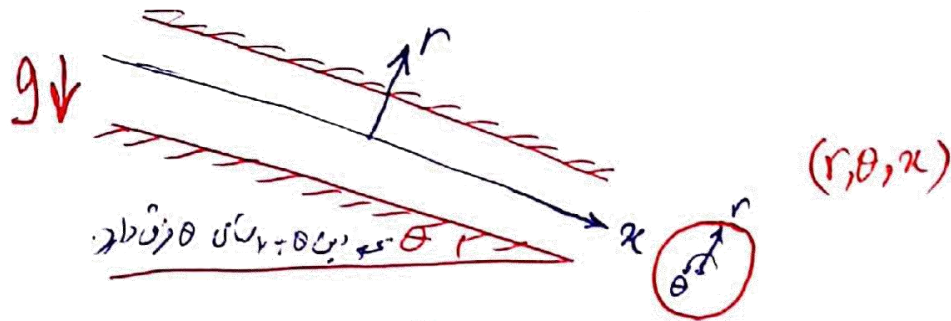
معادله بقای مومنتوم

$$\frac{\partial v_r}{\partial t} + (\vec{v} \cdot \nabla) v_r - \frac{1}{r} v_\theta^2 = -\frac{1}{\rho} \frac{\partial P}{\partial r} + g_r + \nu \left(\nabla^2 v_r - \frac{v_r}{r^2} - \frac{2}{r^2} \frac{\partial v_\theta}{\partial \theta} \right)$$

$$\frac{\partial v_\theta}{\partial t} + (\vec{v} \cdot \nabla) v_\theta + \frac{1}{r} v_r v_\theta = -\frac{1}{\rho r} \frac{\partial P}{\partial \theta} + g_\theta + \nu \left(\nabla^2 v_\theta - \frac{v_\theta}{r^2} + \frac{2}{r^2} \frac{\partial v_r}{\partial \theta} \right)$$

$$\frac{\partial v_z}{\partial t} + (\vec{v} \cdot \nabla) v_z = -\frac{1}{\rho} \frac{\partial P}{\partial z} + g_z + \nu \nabla^2 v_z$$

جریان آرام توسعه یافته داخل لوله



✓ فرض: جریان آرام، تراکم ناپذیر، توسعه یافته، دائمی و یک بعدی در راستای X

$\nabla \cdot \vec{V} = 0$
 $\frac{1}{r} \frac{\partial}{\partial r} (r u_r) + \frac{1}{r} \frac{\partial u_\theta}{\partial \theta} + \frac{\partial u_x}{\partial x} = 0 \Rightarrow \frac{\partial u}{\partial x} = 0$

توسعه یافته و تراکم ناپذیر

$\rho \left[\frac{\partial u_x}{\partial t} + u_r \frac{\partial u_x}{\partial r} + \frac{u_\theta}{r} \frac{\partial u_x}{\partial \theta} + u_x \frac{\partial u_x}{\partial x} \right] = -\frac{\partial p}{\partial x} + \mu \left[\frac{1}{r} \frac{\partial}{\partial r} (r \frac{\partial u_x}{\partial r}) + \frac{\partial^2 u_x}{\partial x^2} \right] + \rho g \sin \theta$

$\Rightarrow \left[-\frac{\partial p}{\partial x} + \frac{\mu}{r} \frac{\partial}{\partial r} (r \frac{\partial u_x}{\partial r}) + \rho g \sin \theta = 0 \right] \quad (1)$

جریان آرام توسعه یافته داخل لوله (ادامه)

شرایط r :
$$\rho \left[\frac{\partial u_r}{\partial t} + u_r \frac{\partial u_r}{\partial r} + \frac{u_\theta}{r} \frac{\partial u_r}{\partial \theta} + u_r \frac{\partial u_r}{\partial r} - \frac{u_\theta^2}{r} \right] = - \frac{\partial P}{\partial r} + \mu \left[\frac{1}{r} \frac{\partial}{\partial r} \left(r \frac{\partial u_r}{\partial r} \right) \right]$$

$$\left\{ \frac{1}{r^2} \frac{\partial^2 u_r}{\partial \theta^2} + \frac{\partial^2 u_r}{\partial z^2} \right\} - \frac{u_r}{r^2} - \frac{2}{r^2} \frac{\partial u_\theta}{\partial \theta} \} + \rho g_r$$

$$\Rightarrow \boxed{- \frac{\partial P}{\partial r} + \rho g_r = 0} \quad (r)$$

شرایط θ :
$$\rho \left[\frac{\partial u_\theta}{\partial t} + u_r \frac{\partial u_\theta}{\partial r} + \frac{u_\theta}{r} \frac{\partial u_\theta}{\partial \theta} + u_r \frac{\partial u_\theta}{\partial r} + \frac{u_r u_\theta}{r} \right] = - \frac{1}{r} \frac{\partial P}{\partial \theta} + \mu \left[\frac{1}{r^2} \frac{\partial}{\partial r} \left(r \frac{\partial u_\theta}{\partial r} \right) + \frac{1}{r^2} \frac{\partial^2 u_\theta}{\partial \theta^2} + \frac{\partial^2 u_\theta}{\partial z^2} \right] - \frac{u_\theta}{r^2} + \frac{2}{r^2} \frac{\partial u_r}{\partial \theta} \} + \rho g_\theta$$

$$\left\{ \frac{1}{r^2} \frac{\partial}{\partial r} \left(r \frac{\partial u_\theta}{\partial r} \right) + \frac{1}{r^2} \frac{\partial^2 u_\theta}{\partial \theta^2} + \frac{\partial^2 u_\theta}{\partial z^2} \right\} - \frac{u_\theta}{r^2} + \frac{2}{r^2} \frac{\partial u_r}{\partial \theta} \} + \rho g_\theta$$

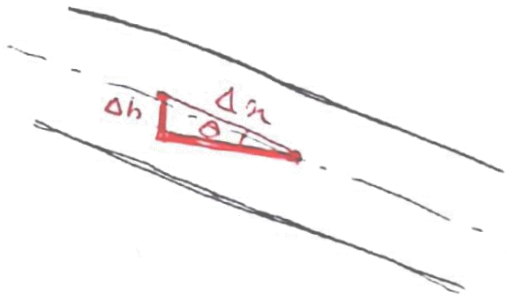
$$\Rightarrow \boxed{- \frac{1}{r} \frac{\partial P}{\partial \theta} + \rho g_\theta = 0} \quad (\theta)$$

جریان آرام توسعه یافته داخل لوله (ادامه)

The flow proceeds straight down the pipe without radial motion.

در این حالت سرعت در تمام نقاط یکسان است

$$\frac{\partial(P + \gamma n \sin \theta)}{\partial n} = \frac{\mu}{r} \frac{\partial}{\partial r} \left(r \frac{\partial u_n}{\partial r} \right)$$



$$\left. \begin{aligned} \sin \theta &= \frac{\Delta h}{\Delta n} = \frac{\partial h}{\partial n} = \frac{dh}{dn} \\ h &= n \sin \theta \end{aligned} \right\}$$

چون یک طرفه است و در طرف دیگر صاف است.

$$\Rightarrow \frac{\partial(P + \gamma h)}{\partial n} = \frac{\mu}{r} \frac{\partial}{\partial r} \left(r \frac{\partial u_n}{\partial r} \right) = \text{cte.}$$

تکانه u_n

$$r \frac{\partial u_n}{\partial r} = \frac{1}{\mu} \frac{\partial(P + \gamma h)}{\partial n} \frac{r^2}{2} + C_1 \Rightarrow \frac{\partial u_n}{\partial r} = \frac{1}{2\mu} \frac{\partial(P + \gamma h)}{\partial n} r + \frac{C_1}{r}$$

$$\Rightarrow u = \frac{1}{4\mu} \frac{\partial(P + \gamma h)}{\partial n} r^2 + C_1 \ln r + C_2$$

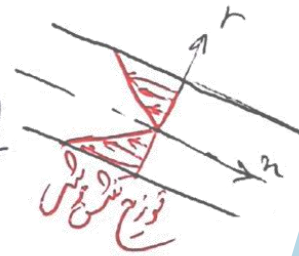
جریان آرام توسعه یافته داخل لوله (ادامه)

B.C. : $u(r=R) = 0$
 شرط طبیعی $u(r=0) = 0$ و $\left. \frac{\partial u}{\partial r} \right|_{r=0} = 0 \Rightarrow C_1 = 0$

$$u(r=R) = 0 \Rightarrow \frac{1}{4\mu} \left(\frac{\partial(P+\gamma h)}{\partial z} R^2 \right) + C_2 = 0 \Rightarrow C_2 = -\frac{1}{4\mu} \frac{\partial(P+\gamma h)}{\partial z} R^2$$

$$\Rightarrow u = -\frac{1}{4\mu} \frac{\partial(P+\gamma h)}{\partial z} (R^2 - r^2)$$

توزیع تنش برشی $\tau_{rz} = \mu \left(\frac{\partial u}{\partial r} + \frac{\partial u}{\partial r} \right) = \mu \frac{\partial u}{\partial r} \Rightarrow \tau_{rz} = \frac{r}{2} \frac{\partial(P+\gamma h)}{\partial z}$



جریان آرام توسعه یافته داخل لوله (ادامه)

$$Q = \int_A \vec{v} \cdot d\vec{A} = \int_0^R 2\pi r u dr$$

$$= \int_0^R 2\pi r \left[\frac{-1}{4\mu} \frac{d(P+\gamma h)}{dn} (R^2 - r^2) \right] dr = \frac{-\pi}{2\mu} \frac{d(P+\gamma h)}{dn} \int_0^R r(R^2 - r^2) dr$$

$$= \frac{-\pi}{2\mu} \frac{d(P+\gamma h)}{dn} \int_0^R r(R^2 - r^2) dr = \frac{-\pi}{2\mu} \frac{d(P+\gamma h)}{dn} \left[\frac{r^2 R^2}{2} - \frac{r^4}{4} \right]_0^R$$

$$\Rightarrow Q = \frac{-\pi R^4}{8\mu} \frac{d(P+\gamma h)}{dn}$$

سرعت متوسط: $\bar{u} = \frac{Q}{A} = \frac{-R^2}{8\mu} \frac{d(P+\gamma h)}{dn}$
 سرعت در مرکز: $u|_{r=0} = \frac{-R^2}{4\mu} \frac{d(P+\gamma h)}{dn}$
 $u_{max} = 2\bar{u}$

* در روابط فوق $\frac{d(P+\gamma h)}{dn}$ منفرد است و همان عبارت آن از $\Delta P = P_1 - P_2$ که در ابتدا نیز در متن ذکر شده است.

افت انرژی در جریان داخل لوله

$$f = \frac{4 \tau_w}{\rho V^2} = \frac{\text{فشار اصطکاک}}{\text{سرعت متوسط}} \cdot \frac{1}{\rho V^2}$$

$$\tau_w \Big|_{r=R} = \frac{R}{2} \frac{\Delta P}{L}$$

$$\frac{\Delta P}{L} = \frac{8 \mu V}{R^2} \Rightarrow \tau_w = \frac{R}{2} \frac{8 \mu V}{R^2} = \frac{4 \mu V}{R}$$

$$\Rightarrow f = \frac{16 \mu V / R}{\frac{1}{2} \rho V^2} = \frac{32 \mu}{\rho V R} = \frac{64 \mu}{\rho V D} = \frac{64}{Re} \Rightarrow \boxed{f = \frac{64}{Re}} \quad \text{رابطه هگنپوس}$$

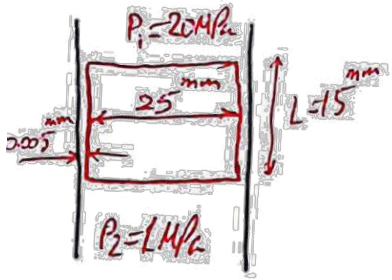
$$f = \frac{D}{L} \frac{\Delta P}{\frac{1}{2} \rho V^2} \Rightarrow \Delta P = f \frac{L}{D} \rho \frac{V^2}{2} \Rightarrow \boxed{\frac{\Delta P}{\rho} = f \frac{L}{D} \frac{V^2}{2}}$$

رابطه دایسون-ویسک

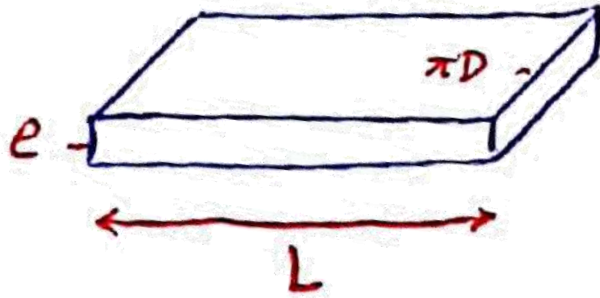
این جریان آرام است $f = \frac{64}{Re}$ و داریم

مثال:

در سیستم هیدرولیک فشاری کاری برابر 20 MPa است. روغن هیدرولیک دارای چگالی 0.92 و ویسکوزیته $\mu = 0.018 \frac{\text{kg}}{\text{m.s}}$ است. شیر کنترل هیدرولیک دارای قطر 25 mm است. یعنی هنگامی که آن باز است 0.005 mm است. دبی جریان روغن را در دو طرف شیر به سمت آبریز، طرف دیگر شیر کنترل فشاری برابر 1 MPa است. طول سیلندر برابر 15 mm است.



حل:



می تواند با جریان بین دو صفحه مدل شود:

$$\frac{\Delta P}{L} = \frac{P_1 - P_2}{L}$$

$$\frac{Q}{\pi D} = \frac{2}{3} \frac{h}{\mu} \frac{\Delta P}{L} \Rightarrow Q = \frac{2}{3} \frac{\pi D e^3 \Delta P}{8 \mu L} = \frac{2}{3} \frac{\pi \times 25^{\text{mm}} \times (0.005)^{\text{mm}} \times (20-1)^{\text{MPa}} \times \frac{1}{10^3} \times \frac{1}{10^3}}{8 \times 0.018 \frac{\text{kg}}{\text{m s}} \times 15^{\text{mm}} \times \frac{1}{10^3}}$$

$$\Rightarrow Q = 57.6 \times 10^{-9} \frac{\text{m}^3}{\text{s}}$$

$$V = \frac{Q}{A} = \frac{Q}{e \pi D} = \frac{57.6 \frac{\text{m}^3}{\text{s}}}{0.005 \times \pi \times 25} = 147 \frac{\text{mm}}{\text{s}} = 0.147 \frac{\text{m}}{\text{s}}$$

$$Re = \frac{\rho v e}{\mu} = \frac{0.92 \times 1000 \times 0.147 \times 0.005 \times 10^{-3}}{0.018} = 0.0375$$

پایه محاسبه است.

مثال:

روغن باداشیبه $\rho = 900 \text{ kg/m}^3$ و ویسکوزیته سینماتیکی
 $\nu = 0.0002 \text{ m}^2/\text{s}$ داخل لوله شیب دار به شعاع 3 cm و طول 10 m
جریان دارد. فشار در مقاطع ۱ و ۲ از لوله به ترتیب

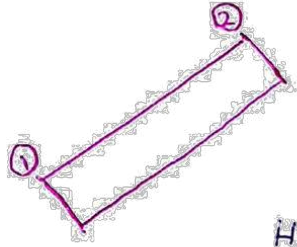
$$\begin{aligned} P_1 &= 350 \text{ kPa}, \quad z_1 = 0 \\ P_2 &= 250 \text{ kPa}, \quad z_2 = 6.43 \text{ m} \end{aligned}$$

برابر است با

با فرض جریان آرام و ترسعه یکنانه داخل لوله مطلوب است

الف) جهت جریان، ب) دبی حجمی

ج) سرعت متوسط و د) نرخ درازم جریان.



برای یافتن جهت جریان، ارتفاع ممتد، از ارتفاع ممتد، از ارتفاع ممتد، از ارتفاع ممتد

$$\text{Hydraulic Grade line: } HGL_1 = \frac{P_1}{\gamma} + z_1 = \frac{350 \times 1000}{900 \times 9.8} = 39.68 \text{ m}$$

$$HGL_2 = \frac{P_2}{\gamma} + z_2 = \frac{250 \times 1000}{900 \times 9.8} + 6.43 = 28.34 + 6.43 = 34.77 \text{ m}$$

$(0, 0, 1) \Rightarrow$ جهت جریان به سمت راست $\leftarrow HGL_1 > HGL_2 \leftarrow$

$$Q = \frac{\pi R^4}{8\mu} \frac{\Delta P}{L} = \frac{\pi R^4}{8HL} \cdot \gamma (HGL_1 - HGL_2) \Rightarrow Q = \frac{\pi (0.03)^4}{8 \times 900 \times 10.0002} \times 9.8 \times 900 \times (39.68 - 34.77)$$

$$= 0.0076 \frac{\text{m}^3}{\text{s}}$$

$$V = \frac{Q}{A} = \frac{0.0076}{\pi \times 0.03^2} = 2.7 \text{ m/s}$$

$$Re = \frac{\rho v D}{\mu} = \frac{v D}{\nu} = \frac{900 \times 2.7 \times 0.06}{900 \times 0.0002} = 810 \Rightarrow Re < 2300 \Rightarrow \text{جریان لایه‌ای}$$

کاربرد آنالیز ابعادی و بررسی افت انرژی

$$gh_L = f(\rho, \mu, v, D, L, \epsilon)$$

استفاده از روش آنالیز ابعادی می‌توانیم داریم.

$$\frac{gh_L}{v^2} = f\left(\frac{L}{D}, \frac{\epsilon}{D}, Re\right)$$

K

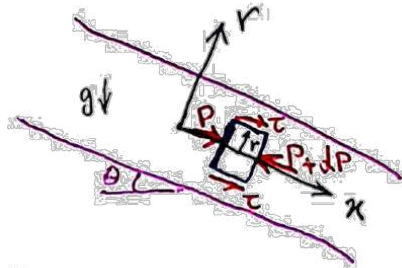
$$K = f\left(\frac{L}{D}, \frac{\epsilon}{D}, Re\right) \Rightarrow gh_L = K \frac{v^2}{2} \Rightarrow h_L = K \frac{v^2}{2g}$$

$$\Sigma F = 0 \rightarrow PA - (P+dP)A + 2\pi r dx \tau + \rho \pi r^2 dx g \sin \theta = 0$$

اگر جریان توسعه یافته باشد داریم:

$$-AdP + 2\pi r dx \tau + \rho \pi r^2 dx g \frac{dh}{dx} = 0$$

$$-r \underbrace{[dP + \gamma dh]}_{d(P+\gamma h)} + 2\tau dx = 0$$



$$\tau = \frac{r}{2} \frac{d(P+\gamma h)}{dx} \Rightarrow \tau_w = \frac{R}{2} \frac{\Delta P}{L} \Rightarrow \tau_w = \frac{D}{4} \frac{\Delta P}{L}$$

$$K = \frac{L}{D} f\left(\frac{\epsilon}{D}, Re\right) \Rightarrow h_L = \frac{fL}{D} \frac{v^2}{2g}$$

ضریب اصطکاک داری می‌توانیم نتایج اینگونه در زیر است.
اگر جریان آرام باشد قطعاً نتایج برقرار است: $f = \frac{64}{Re}$

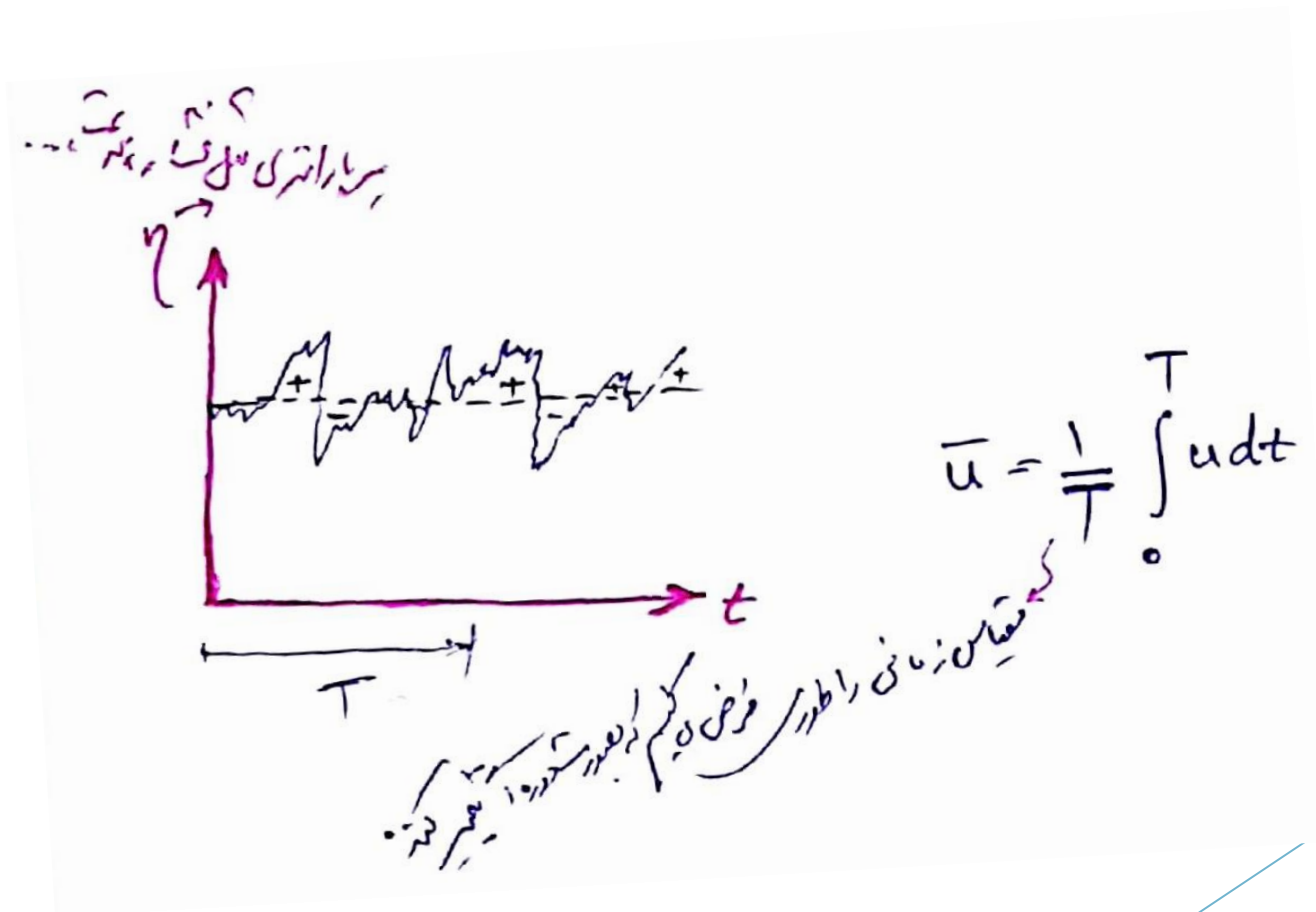
Skin Friction Coefficient

ضریب اصطکاک قشری ✓

$$C_f = \frac{\tau_w}{\frac{1}{2}\rho V^2} \Rightarrow C_f = \frac{1}{4} f$$

The **skin friction coefficient** is a dimensionless skin shear stress which is nondimensionalized by the dynamic pressure of a free stream.

جریان آشفته توسعه یافته داخلی



جریان آشفته توسعه یافته داخلی

$$u = \bar{u} + u'$$

$$\bar{u} = \overline{\bar{u} + u'}$$

$$= \bar{\bar{u}} + \bar{u}'$$

$$= \bar{u} + \bar{u}' \Rightarrow \bar{u}' = 0$$

u : سرعت کل

\bar{u} : سرعت متوسط

u' : نوسان سرعت

N-S معادله نادر انکس: $\rho \left[\frac{\partial \vec{v}}{\partial t} + \vec{v} \cdot \nabla \vec{v} \right] = -\nabla P + \mu \nabla^2 \vec{v}$

i در راستای x: $\rho \left[\frac{\partial u}{\partial t} + u \frac{\partial u}{\partial x} + v \frac{\partial u}{\partial y} + w \frac{\partial u}{\partial z} \right] = -\frac{\partial P}{\partial x} + \mu \nabla^2 u$

j در راستای y: $\rho \left[\frac{\partial v}{\partial t} + u \frac{\partial v}{\partial x} + v \frac{\partial v}{\partial y} + w \frac{\partial v}{\partial z} \right] = -\frac{\partial P}{\partial y} + \mu \nabla^2 v$

k در راستای z: $\rho \left[\frac{\partial w}{\partial t} + u \frac{\partial w}{\partial x} + v \frac{\partial w}{\partial y} + w \frac{\partial w}{\partial z} \right] = -\frac{\partial P}{\partial z} + \mu \nabla^2 w$

RANS

✓ اگر از معادله ناویر استوکس نسبت به مقیاس زمانی آشفتهگی متوسط گیری کنیم معادله متوسط گیری شده رینولدز ناویر استوکس RANS بدست می آید.

$$\begin{aligned} \overline{u \frac{\partial u}{\partial x}} &= \overline{(\bar{u} + u') \frac{\partial (\bar{u} + u')}{\partial x}} = \overline{\bar{u} \left[\frac{\partial \bar{u}}{\partial x} + \frac{\partial u'}{\partial x} \right]} + \overline{u' \frac{\partial \bar{u}}{\partial x}} + \overline{u' \frac{\partial u'}{\partial x}} \\ &= \bar{u} \frac{\partial \bar{u}}{\partial x} + \frac{\partial \overline{u' u'}}{\partial x} \end{aligned}$$

هدف از تساوی فوقی نایبی نحوه ظاهر شدن عبارات موسوم به تنش آشفتگی است

برای رسیدن آنجا بایستی از مفهوم نایبی ثانوی و استفاده از عبارات زیر استفاده نمود.

نایباً عبارات زیر را استخراج کرده و بعداً در معادله نایب حاصل می‌گردد

$$i: \rho \left[\frac{\partial \bar{u}}{\partial t} + \bar{u} \frac{\partial \bar{u}}{\partial x} + \bar{v} \frac{\partial \bar{u}}{\partial y} + \bar{w} \frac{\partial \bar{u}}{\partial z} \right] = -\frac{\partial \bar{p}}{\partial x} + \frac{\partial}{\partial x} \left[\mu \frac{\partial \bar{u}}{\partial x} - \rho \overline{u'u'^2} \right] \Rightarrow$$

$$+ \frac{\partial}{\partial y} \left[\mu \frac{\partial \bar{u}}{\partial y} - \rho \overline{u'v'} \right] + \frac{\partial}{\partial z} \left[\mu \frac{\partial \bar{u}}{\partial z} - \rho \overline{u'w'} \right]$$

$$j: \rho \left[\frac{\partial \bar{v}}{\partial t} + \bar{u} \frac{\partial \bar{v}}{\partial x} + \bar{v} \frac{\partial \bar{v}}{\partial y} + \bar{w} \frac{\partial \bar{v}}{\partial z} \right] = -\frac{\partial \bar{p}}{\partial y} + \frac{\partial}{\partial x} \left[\mu \frac{\partial \bar{v}}{\partial x} - \rho \overline{u'v'} \right] +$$

$$+ \frac{\partial}{\partial y} \left[\mu \frac{\partial \bar{v}}{\partial y} - \rho \overline{v'v'^2} \right] + \frac{\partial}{\partial z} \left[\mu \frac{\partial \bar{v}}{\partial z} - \rho \overline{v'w'} \right]$$

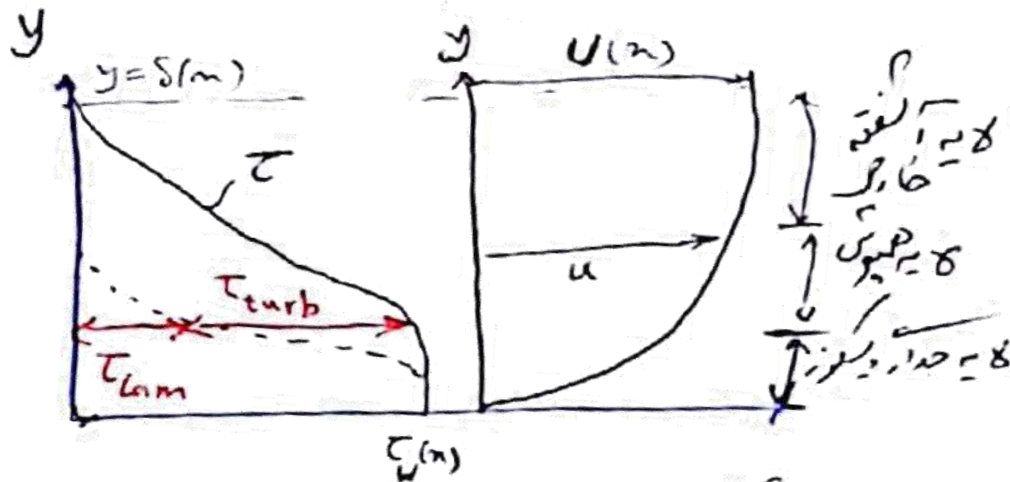
$$k: \rho \left[\frac{\partial \bar{w}}{\partial t} + \bar{u} \frac{\partial \bar{w}}{\partial x} + \bar{v} \frac{\partial \bar{w}}{\partial y} + \bar{w} \frac{\partial \bar{w}}{\partial z} \right] = -\frac{\partial \bar{p}}{\partial z} + \frac{\partial}{\partial x} \left[\mu \frac{\partial \bar{w}}{\partial x} - \rho \overline{u'w'} \right] \Rightarrow$$

$$+ \frac{\partial}{\partial y} \left[\mu \frac{\partial \bar{w}}{\partial y} - \rho \overline{v'w'} \right] + \frac{\partial}{\partial z} \left[\mu \frac{\partial \bar{w}}{\partial z} - \rho \overline{w'w'^2} \right]$$

$$\tau_{\text{Reynolds}} = \begin{pmatrix} -\rho \overline{u'^2} & -\rho \overline{u'v'} & -\rho \overline{u'w'} \\ -\rho \overline{u'v'} & -\rho \overline{v'^2} & -\rho \overline{v'w'} \\ -\rho \overline{u'w'} & -\rho \overline{v'w'} & -\rho \overline{w'^2} \end{pmatrix}$$

تنشهای مستقیم
 تنشهای برشی
 تنشهای چابری

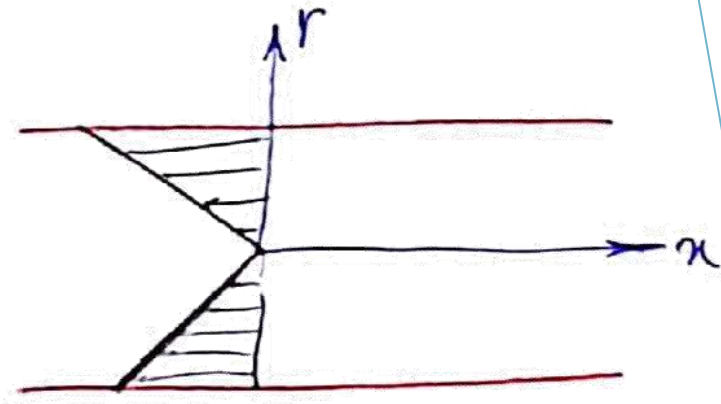
جریان آشفته توسعه یافته داخلی

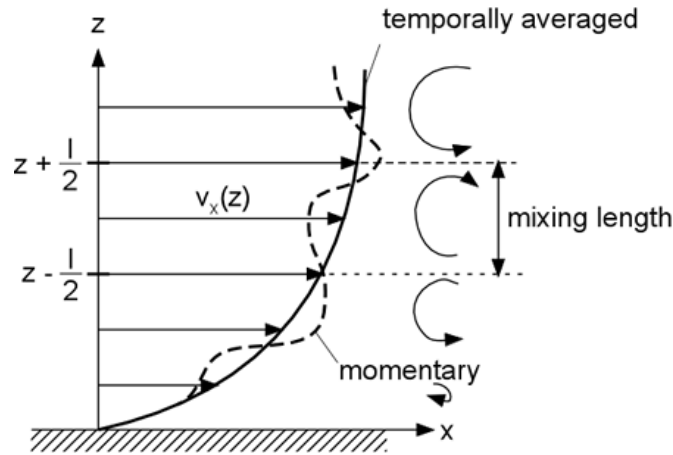


لایه آشفته
لایه آشفته
لایه آشفته

توزیع سرعت در تنگه بزرگ نزدیک دیواره

$$\tau = \mu \frac{d\bar{u}}{dy} - \rho \overline{u'v'} = \tau_{\text{lam}} + \tau_{\text{turb}}$$





* مدل برای لایه منتهی به دیوار در یک کانال با طول مشخص است که در آن طول اختلاط l است که در آن $l = ky$ که در آن k عدد ثابت کلمن (۰.۴) است در نظر گرفته شده. مدل برای لایه منتهی به دیوار در یک کانال با طول مشخص است که در آن $l = ky$ که در آن k عدد ثابت کلمن (۰.۴) است در نظر گرفته شده. مدل برای لایه منتهی به دیوار در یک کانال با طول مشخص است که در آن $l = ky$ که در آن k عدد ثابت کلمن (۰.۴) است در نظر گرفته شده.

در این مدل، l طول اختلاط است که در آن $l = ky$ که در آن k عدد ثابت کلمن (۰.۴) است در نظر گرفته شده. مدل برای لایه منتهی به دیوار در یک کانال با طول مشخص است که در آن $l = ky$ که در آن k عدد ثابت کلمن (۰.۴) است در نظر گرفته شده.

* معادله برای لایه منتهی به دیوار در یک کانال با طول مشخص است که در آن $l = ky$ که در آن k عدد ثابت کلمن (۰.۴) است در نظر گرفته شده. مدل برای لایه منتهی به دیوار در یک کانال با طول مشخص است که در آن $l = ky$ که در آن k عدد ثابت کلمن (۰.۴) است در نظر گرفته شده.

لایه های جریان آشفته

✓ جریان داخل لوله را می توان با سه لایه زیر مدل سازی نمود:

✓ لایه زیرین چسبنده یا داخلی

Viscous or Inner Layer

✓ لایه رویهم یا گذرا

Overlap or Transient Layer

✓ لایه بیرونی یا آشفته

Outer or Turbulent Layer

لایه زیرین چسبنده یا داخلی Viscous or Inner Layer

✓ در این لایه که نزدیک جداره می باشد و حدود ۲٪ کل ضخامت لایه را تشکیل می دهد جریان آرام بوده و سهم عمده تنش برشی ناشی از جریان آرام یا اختلاط مولکولی است.

لایه رویهم یا گذرا

Overlap or Transient Layer

✓ در این لایه هر دو پدیده جریان آرام و آشفته موثر می‌باشند و تنش برشی از هر دو پدیده اختلاط مولکولی و اختلاط ماکروسکوپی ذرات تشکیل می‌شود.

لایه بیرونی یا آشفته Outer or Turbulent Layer

✓ در این لایه صرفاً جریان ناشی از پدیده آشفتگی می باشد و پدیده جریان آرام در آن نقشی ندارد و تنش برشی ناشی از اختلاط ماکروسکوپی ذرات سیال است.

مدل سازی لایه های جریان آشفته

$$u = f(\tau_w, \rho, \mu, y) \xrightarrow{\text{تبدیل ابعاد}} \frac{u}{\sqrt{\frac{\tau_w}{\rho}}} = f\left(\frac{y \rho^{\frac{1}{2}} \tau_w^{\frac{1}{2}}}{\mu}\right)$$

۱- مدل سازی لایه درونی

(شماره نوزاد = $\frac{\rho y u^*}{\mu}$)

$$u^* = \sqrt{\frac{\tau_w}{\rho}}$$

Wall velocity
 ابعاد سرعت است
 و سرعت را تقویت

$$u^+ = \frac{u}{u^*} = f(y^+ = \frac{y}{\delta^+}) \rightarrow [u^+ = f(y^+)]$$

بعدها نتایج جدیدی که لایه داخلی را در برنج سرعت در داخل این لایه را به دست می آید.

$$\tau_w = \mu \frac{du}{dy} = cte \quad \frac{du}{dy} = \frac{u}{y} \quad \tau_w = \mu \frac{u}{y} \rightarrow u = \frac{\tau_w y}{\mu} \rightarrow \frac{u}{u^*} = \frac{y u^*}{\nu} \rightarrow [u^+ = y^+]$$

مدل سازی لایه‌های جریان آشفته

۳- مدل سازی لایه‌های بی‌برونی با آشفته :

توسط فون کارمن رابطه بالا بدست زیر نوشته شد:

$$u = f(u_{max}, R, \gamma, \rho, \tau_w)$$
$$u_{max} - u = f(R, \gamma, \rho, \tau_w) \xrightarrow{\text{تجانسی}} \frac{u_{max} - u}{\sqrt{\frac{\tau_w}{\rho}}} = G\left(\frac{\gamma}{R}\right)$$

مدل سازی لایه های جریان آشفته

۲- لایه روبرویم:

توسط بینکای رابطه زیر میسر می آید:

توازن کلاسیک

$$u^+ = \frac{u}{u^*} = \frac{1}{k} \ln \frac{yu^*}{\nu} + B$$

≈ 0.4 ≈ 5

برای آزمون برای دیوارها:

حسب ملاحظات در لوله: کفایت بجای لا مقداری $R-r$ قرار دهم به عنوان مثال قانون کلاسیک بصورت زیر نوشته می شود:

$$\frac{u(r)}{u^*} = \frac{1}{k} \ln \frac{(R-r)u^*}{\nu} + B$$

با فرض آنکه پروفیل سرعت کلاسیک در برهه لایه هادق باشد سرعت متوسط عبارتست از:

$$V = \frac{Q}{A} = \frac{\int v \cdot dA}{A} = \frac{\int_0^R 2\pi r u dr}{\pi R^2}$$

$$\left. \begin{aligned} u = 2.44 u^* \ln \left[\frac{(R-r)u^*}{\nu} \right] + 5u^* \end{aligned} \right\} \frac{V}{u^*} = 2.44 \ln \left(\frac{u^* R}{\nu} \right) + 1.34$$

$$\left. \begin{aligned} u^* = \sqrt{\frac{\tau_w}{\rho}} = \sqrt{\frac{\tau_w}{\rho} \cdot \frac{4 \frac{V}{2}}{4 \frac{V^2}{2}}} = \sqrt{\frac{4 \tau_w}{\frac{1}{2} \rho V^2} \cdot \frac{V^2}{8}} = \sqrt{f \frac{V^2}{8}} = \frac{V}{2} \frac{\sqrt{f}}{\sqrt{2}} \end{aligned} \right\} \frac{u^* R}{\nu} = \frac{V \sqrt{f}}{4 \sqrt{2}} \cdot \frac{D}{\nu} = \frac{\sqrt{f}}{4 \sqrt{2}} Re$$

$$\Rightarrow \frac{1}{\sqrt{f}} = 1.99 \log(Re \sqrt{f}) - 1.02$$

بسیار وسیع فرایند براساس نتایج تجربی رابطه زیر ارائه گردید:

$$\left. \frac{1}{\sqrt{f}} = 2 \log(Re \sqrt{f}) - 0.8 \right\} \text{دیواره کاملاً صاف}$$

- اثر زبری دیواره را می‌توان تشکیل انواع لایه‌ها داخلی در لایه مرئی و جریان آشفته:

تعریف: $\epsilon^+ = \frac{\epsilon u^*}{\nu}$

$\epsilon^+ < 5$: سطح از نظر میدان جریان صاف فرض می‌شود و در جریان آشفته لایه مرئی ضخیم است و ضریب اصطکاک مستقل از زبری است.

$5 < \epsilon^+ < 70$: در این حالت تراز لایه مرئی و آشفته در میدان جریان تشکیل می‌شود و ضریب اصطکاک به زبری سطح و عدد رینولدز وابسته است.

$\epsilon^+ > 70$: در این حالت جریان تراز لایه مرئی یا آشفته را دارد و سطح از نظر میدان جریان صاف است و لایه مرئی نازک می‌شود. ضریب اصطکاک مستقل از عدد رینولدز است.

* برابر حالت کاملاً زبر که ضریب اصطکاک مستقل از عدد رینولدز است می‌توان از رابطه زیر استفاده کرد:

$$\frac{1}{\sqrt{f}} = -2 \log \left(\frac{\epsilon/d}{3.7} \right)$$

* برابر لوله نه کاملاً صاف و نه کاملاً زبر کاربرد رابطه زیر را پیشنهاد نمود که رابطه‌ای پیوسته است که برابر جریان آشفته بوده و نمودار نمودار را برای سکان رسم می‌کنند.

$$\frac{1}{\sqrt{f}} = -2 \log \left[\frac{\epsilon/d}{3.7} + \frac{2.51}{Re \sqrt{f}} \right]$$

توضیح دیاگرام مودی

محور عمودی سمت چپ ضریب اصطکاک داری و سیاحت نشان می دهد .

محور افقی عدد رینولدز نشان می دهد. $Re = \frac{Vd}{\nu}$ که در آن $\nu = \frac{\mu}{\rho}$ به متوسط چگالی است.

محور عمودی درست راست دیاگرام سودا ، زبری نسبی $\frac{\epsilon}{d}$ را نشان می دهد. زبری نسبی $\frac{\epsilon}{d} =$

$$\frac{u}{u_{max}} = \left(\frac{y}{R}\right)^{\frac{1}{n}} = \left(\frac{R-r}{R}\right)^{\frac{1}{n}} = \left(1 - \frac{r}{R}\right)^{\frac{1}{n}}$$

* پروفیل سرعت قانون توانی (power law velocity):

توان n تابع عدد رینولدز بوده و بصورت تقریبی به توان نزدیک است:

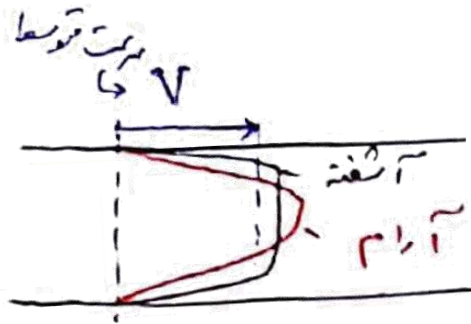
$$n \approx \frac{1}{\sqrt{f}}$$

Re	4000	2.3×10^4	1.1×10^5	1.1×10^6	2×10^6
n	5	6.6	7	9	10

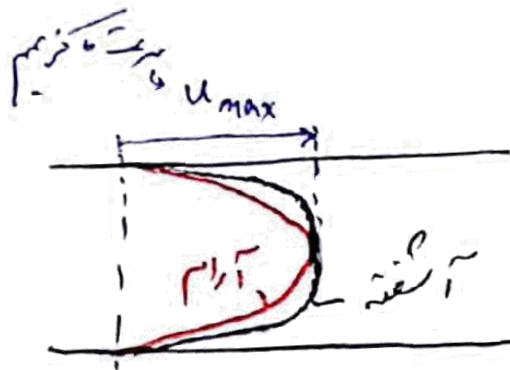
این جدول برابر لوگ صاف ارائه شده است.

مقایسه پروفیل سرعت آرام و آشفته

✓ دو حالت در نظر می‌گیریم:



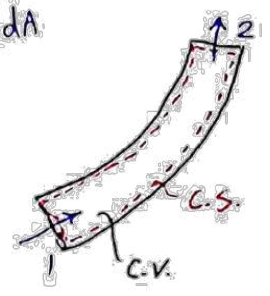
الف) سرعت متوسط در جریان آرام و آشفته برابرند.



ب) سرعت ماکزیمم در جریان آرام و آشفته برابرند.

- معادله انرژی برای جریان داخل دانه

$$\dot{Q}_{c.v.} + \dot{W}_{shear} + \dot{W}_{shaft} + \dot{W}_{others} = \frac{\partial}{\partial t} \int_{c.v.} \rho e \, dV + \int_{c.s.} \left(e + \frac{P}{\rho} \right) \rho \vec{V} \cdot d\vec{A}$$



انرژی در حالت پایدار: $e = \frac{V^2}{2} + gz + u$

انرژی در حالت متغیر:

$$\dot{Q}_{c.v.} = \int_{A_1} \left(e_1 + \frac{P_1}{\rho} \right) \rho \vec{V}_1 \cdot d\vec{A}_1 + \int_{A_2} \left(e_2 + \frac{P_2}{\rho} \right) \rho \vec{V}_2 \cdot d\vec{A}_2$$

بافتن خواص سیال می توانست در سطح درونی و خارجی:

$$\dot{Q}_{c.v.} = -\dot{m} \left(\frac{P_1}{\rho} + u_1 + gz_1 \right) - \int_{A_1} \frac{V_1^2}{2} \rho V_1 \, dA_1 + \dot{m} \left(\frac{P_2}{\rho} + u_2 + gz_2 \right) + \int_{A_2} \frac{V_2^2}{2} \rho V_2 \, dA_2$$

تسهیل برسی روی سطح محدوده چون سرعت روی آن صفر است
 با وجود آنکه نیروی حرکت اما کار انجام نمی شود.
 $\dot{W}_{shear} = 0$

* جریان دائم Steady-state: $\frac{\partial}{\partial t} = 0$

* جدا از هم چون سرعت دارد تنها با این سطح در ورودی است

ضریب انرژی جنبشی⁰ Kinetic Energy Coefficient

عبارة از نسبت انرژی جنبشی واقعی به انرژی جنبشی متوسط :

$$\alpha = \frac{\int \frac{v}{2} \rho v dA}{m \frac{v^2}{2}}$$

$$\rightarrow \dot{Q}_{c.v.} = -\dot{m} \left(\frac{P_1}{\rho} + gz_1 + u_1 + \alpha \frac{v_1^2}{2} \right) + \dot{m} \left(\frac{P_2}{\rho} + gz_2 + u_2 + \alpha_2 \frac{v_2^2}{2} \right)$$

$$\rightarrow \text{میانگین } \left(\frac{P_1}{\rho} + gz_1 + \alpha_1 \frac{v_1^2}{2} \right) = \left(\frac{P_2}{\rho} + gz_2 + \alpha_2 \frac{v_2^2}{2} \right) + \underbrace{(u_2 - u_1)}_{\text{انرژی درونی}} - \frac{\delta \dot{Q}_{c.v.}}{\delta m}$$

انرژی ورودی
انرژی خروجی
افت انرژی
ارتفاع افت انرژی $\rightarrow gh_L$

* مقدار ضریب انرژی جنبشی برای جریان آرام از دو پهنای برابر $\alpha_1 = \alpha_2 = 2$ می باشد.

* در جریان آشفته از پروفیل سرعت زانی استفاده می گردد

* بین این دو جریان آشفته مقدار ضریب انرژی جنبشی تقریباً برابر است.

$$\alpha_1 = \alpha_2 = 1$$

$$\alpha = \left[\frac{u_{max}}{v} \right]^2 \frac{2n}{(2+n)(3+2n)}, \quad \frac{u_{max}}{v} = \frac{(n+1)(2n+1)}{2n^2}$$

$$\text{برای } n=6 \Rightarrow \alpha = 1.08$$

$$n=10 \Rightarrow \alpha = 1.03$$

- انواع افت انرژی در جریان داخل لوله :

$$gh_L = K \frac{V^2}{2}$$

$f(Re, \frac{\epsilon}{d})$ ضریب اصطکاک دایمی ویسک
 $K = \frac{fL}{d}$

K تابعی از $Re, \frac{L}{d}, \frac{\epsilon}{d}$

برابر می شود با $gh_L = f \frac{L}{d} \frac{V^2}{2}$

افت های موضعی : (minor losses)

مربوط به محل هایی است که در آنها سیال توسعه یافته باشد مثل ورود مخزن به لوله، خروجی سیل از لوله به مخزن، تغییر آرایش، اتصالات انبساط، انقباض ناگهانی.

$$h_{Lm} = K \frac{V^2}{2g}$$

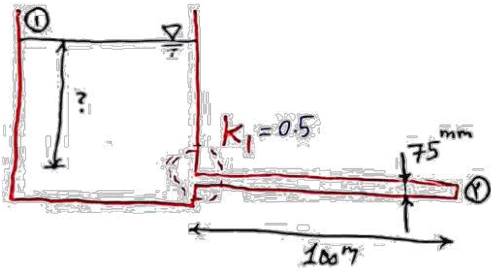
افت‌های طرینی: (Major Losses)

مربوط به افت انرژی در طول لوله می‌باشد و از رابطه داری-ویشباخ افت انرژی طرینی به دست می‌آید:

$$h_{L_e} = f \frac{L}{d} \frac{V^2}{2g}$$

$$\Rightarrow h_L = \sum_{i=1}^n K_i \frac{V_i^2}{2g} + \sum_{i=1}^n f_i \frac{L_i}{d_i} \frac{V_i^2}{2g}$$

سؤال: لوله ای به طول 100 متر بصورت افقی به مخزن وصل شده است. عمق آب داخل مخزن چقدر باشد تا دبی آن $0.03 \text{ m}^3/\text{s}$ در لوله جریان داشته باشد؟ قطر داخلی لوله برابر 75 mm است.



در لوله جریان داشته باشد؟ قطر داخلی لوله برابر 75 mm است.

$$\left(\frac{P_1}{\rho_1} + z_1 + \alpha_1 \frac{V_1^2}{2g} \right) = \left(\frac{P_2}{\rho_2} + z_2 + \alpha_2 \frac{V_2^2}{2g} \right) + h_L$$

$$Re = \frac{Pvd}{\mu}, \quad Q = VA = v \frac{\pi d^2}{4} \Rightarrow Re = \frac{4PQ}{\pi \mu d} = \frac{4Q}{\pi v d}$$

$$Re = \frac{4 \times 1000 \frac{\text{kg}}{\text{m}^3} \times 0.03 \text{ m}^3/\text{s}}{\pi \times 10^{-3} \frac{\text{kg}}{\text{m} \cdot \text{s}} \times 0.075} = 5 \times 10^5 > 4000 \Rightarrow \text{جریان لaminar} \Rightarrow \alpha_2 = 1$$

$$V_1 \approx 0, \quad P_1 = P_2 = 0, \quad z_2 = 0 \Rightarrow \frac{P_1}{\rho_1} + z_1 + \alpha_1 \frac{V_1^2}{2g} = \left(\frac{P_2}{\rho_2} + z_2 + \alpha_2 \frac{V_2^2}{2g} \right) + h_L \Rightarrow h_L = z_1 - \frac{V_2^2}{2g}$$

$$h_L = f \frac{L}{d} \frac{V^2}{2g} + k_1 \frac{V^2}{2g} \Rightarrow z_1 = \frac{V^2}{2g} \left(\frac{fL}{d} + k_1 + 1 \right) = 44.6 \text{ m}$$

0.0131 0.5